

α - und β -Lipomycin: Totalsynthesen auf der Grundlage sequentieller Stille-Kupplungen und Zuordnung der absoluten Konfiguration aller stereogenen Zentren**

Max L. Hofferberth und Reinhard Brückner*

Professor Axel Zeeck zum 75. Geburtstag gewidmet

Abstract: Vor 40 Jahren gelang die Strukturaufklärung von α -Lipomycin und seinem Aglycon β -Lipomycin bis darauf, dass die Konfiguration der stereogenen Zentren in der Seitenkette offenblieb. Wir synthetisierten alle in Frage kommenden β -Lipomycin-Kandidaten, von denen das (12R,13S)-Isomer den spezifischen Drehwert des Naturstoffs aufwies, sowie das (12R,13S)-konfigurierte D-Digitoxid, dessen spezifischer Drehwert es als α -Lipomycin auswies. Wir erhärteten diese Strukturzuordnungen, indem wir α - und β -Lipomycin aus *Streptomyces* isolierten, zu den Diestern 33 und 34 abbauten und deren 3D-Strukturen durch unabhängige Synthesen bewiesen.

Tetramtsäuren^[1] sind schwach saure Heterocyclen **1** (Abbildung 1; R_x = H; pK_a = 6.4^[2]). 3-Acyltetramtsäuren (**2**), die

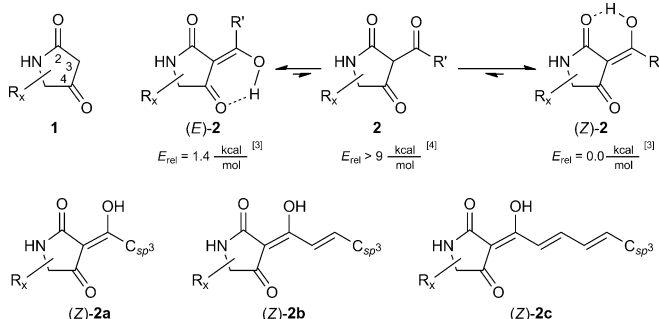


Abbildung 1. Tetramtsäuren (**1**), 3-Acyltetramtsäuren (**2**; gezeigt ist das bevorzugte Tautomer) und die dazugehörigen Untertypen **2a–c** (gezeigt ist jeweils das dominierende Isomer).

größtenteils als Enole (**Z**)-**2** vorliegen und zu einem kleineren Anteil als deren Stereoisomere (**E**)-**2**^[3,4] sind saurer als Essigsäure (3-R' = 3-Acetyl, R_x = 5-sBu; pK_a = 3.35^[5]). Die Datenbank REAXYS charakterisiert mindestens 118 solcher 3-Acyltetramtsäuren **2** als Naturstoffe.^[6] Davon besitzen 59 eine Enolstruktur (**Z**)-**2a**, enthalten also einen gesättigten Acylsubstituenten. 12 natürlich vorkommende 3-Acyltetramtsäuren sind Dienole (**Z**)-**2b** und insofern Vertreter der 3-Enoyltetramtsäuren. Daneben kennt man 14 natürlich vorkommende 3-Dienoyltetramtsäuren. Sie besitzen Trienol-Strukturen (**Z**)-**2c**. Natürliche 3-Polyenoyltetramtsäuren kennt man ebenfalls, und ihre Zahl, gegenwärtig 33,^[6] steigt stetig.^[7] 3-Polyenoyltetramtsäuren sind Vinyloge, Bis(vinyloge) oder Tris(vinyloge) der Trienole (**Z**)-**2c**.

Zu den Tetramtsäure-Naturstoffen, denen man in letzter Zeit auf der Basis von Totalsynthesen Konfigurationen zugewiesen hat, zählen Penicillenol A₂,^[8] Penicillenol C₁,^[9] Epicoccarin A^[10] und Virginenon^[11] (Abbildung 2). Zu den

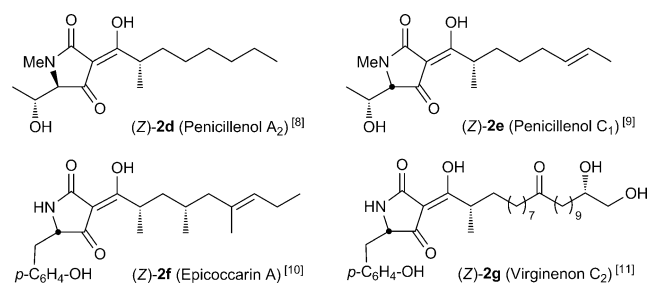


Abbildung 2. Natürlich auftretende Tetramtsäuren, deren Konfigurationszuordnung durch kürzlich abgeschlossene Totalsynthesen erfolgte.

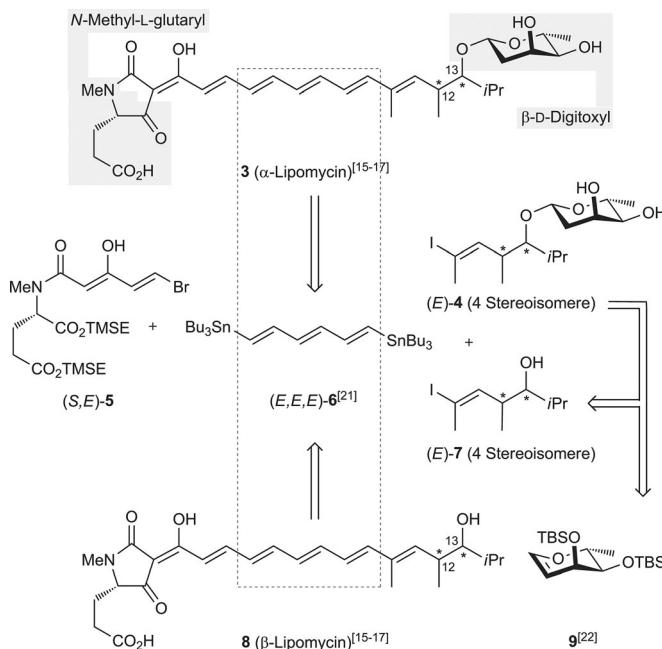
[*] Dr. M. L. Hofferberth, Prof. Dr. R. Brückner
Institut für Organische Chemie, Albert-Ludwigs-Universität Freiburg
Albertstraße 21, 79104 Freiburg (Deutschland)
E-Mail: reinhard.brueckner@organik.chemie.uni-freiburg.de
Homepage: <http://www.brueckner.uni-freiburg.de>

[**] Wir danken Prof. Dr. Andreas Bechthold und Dipl.-Biol. E. Welle (beide Institut für Pharmazeutische Wissenschaften, Albert-Ludwigs-Universität Freiburg) für eine authentische Probe von α -Lipomycin und für ihre Hilfestellung beim Anzüchten und Extrahieren von *Streptomyces aureofaciens* (Tü 117) zur Gewinnung von α - und β -Lipomycin. Für die finanzielle Förderung danken wir dem Internationalen Graduiertenkolleg 1038 der DFG.

Hintergrundinformationen zu diesem Beitrag sind im WWW unter <http://dx.doi.org/10.1002/ange.201402255> zu finden.

strukturell komplexesten 3-Acyltetramtsäuren, die man aus natürlichen Quellen gewonnen hat, gehören Aflastatin A,^[12] das 28 Stereozentren außerhalb des Heterocyclus enthält, und Aurantosid A,^[13] das ein N-Glycosid eines Trisaccharids ist.^[14]

Die natürliche 3-Polyenoyltetramtsäure α -Lipomycin (**3**) und ihr Aglycon β -Lipomycin (**8**) wurden von Zeeck et al. vor 40 Jahren aus *Streptomyces aureofaciens* isoliert (Schema 1).^[15] Weder **3** noch **8** waren kristallin. Demzufolge gründete sich die Strukturaufklärung dieser Verbindungen auf Massenspektrometrie, IR-, UV/VIS- und ¹H-NMR-Spektroskopie (100 MHz) sowie chemische Abbaustudien.^[15–17] Hierbei wurden alle Strukturmerkmale erkannt – bis auf die Konfiguration der Stereozentren in der Polyenoyl-



Schema 1. Die stereochemisch unvollständig charakterisierten^[15-17] Polyenoyltetramärsäuren α -Lipomycin (3) und β -Lipomycin (8). Zurückführung der isomeren Kandidaten auf die Synthesebausteine (S,E)-5 (neuartig), (E,E,E)-6^[21] (E)-4 oder (E)-7 und den Disilylether 9^[22] von D-Digitoxal. TBS = *tert*-Butyldimethylsilyl, TMSE = 2-(Trimethylsilyl)ethyl.

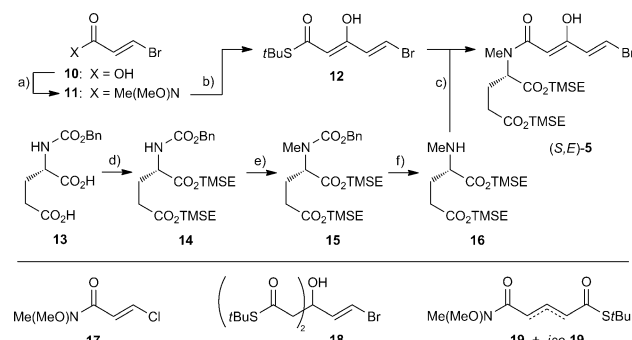
Seitenkette. 2006 wurde der Gen-Cluster, der die Biosynthese der Lipomycine codiert, charakterisiert.^[18] Die Aminosäuresequenz der Ketoreduktase, die dieser Gen-Cluster codiert und die die Seitenketten-Stereozentren festlegt, wurde kürzlich mit den Aminosäuresequenzen von 78 Ketoreduktasen aus 38 anderen Gen-Clustern von Polyketidsynthetasen verglichen; das ermöglichte, die Konfigurationen an den meisten dazugehörigen Stereozentren der jeweiligen Genprodukte vorherzusagen – sowohl im Allgemeinen als auch für β -Lipomycin (8) im Besonderen.^[19,20]

Wir ermittelten nun die Konfiguration der stereogenen Zentren von α -Lipomycin (3) und β -Lipomycin (8) durch Totalsynthese vollständig. Retrosynthetisch zerlegten wir hierzu die Strukturen der prinzipiell vorstellbaren Kandidaten – also von vier Diastereomeren pro Zielmolekül – in jeweils drei Synthesebausteine (Schema 1). Das Distannan (E,E,E)-6 sollte dabei den all-E-konfigurierten Trien-Kern von 3 und 8 durch stufenweise Kupplungen der beiden C(sp²)-Sn-Termini zugänglich machen; dieses Distannan hatten wir vor einiger Zeit eingeführt und einer ähnlichen Biskupplungsstrategie zugeführt.^[21] Eine derartige Kupplung sollte „links“ mit dem Bromalken-Synthesebaustein (S,E)-5 und „rechts“ mit jeweils einem der vier Iodalkene-Diastereomere (E)-7 bzw. mit einem ihrer Glycoside (E)-4 erfolgen. Zwar waren die Letzteren unbekannt, doch versprachen sie, aus der Addition der genannten Iodalkene (E)-7 an den Bis(*tert*-butyldimethylsilylether) 9^[22] von D-Digitoxal hervorzugehen.

Auch die Iodalkene (E)-7 von Schema 1 waren in der Literatur noch nicht beschrieben worden. Synthesen des Benzyl- und des *tert*-Butyldimethylsilylethers des racemischen *syn*-Alkohols [(^{4,5}ul,E)-7] stellten aber relevante Prä-

zedenzfälle dar.^[23] Außerdem existierte eine enantioselektive Synthese desselben ungeschützten Homopropargylalkohols, den wir als Vorläufer des Iodalken-Isomers (4R,5R,E)-7 verwendeten.^[24] Wie Schema 3 zeigen wird, stellten wir diesen Alkohol jedoch auf andere Weise her. Das Bromalken (S,E)-5 von Schema 1 enthält ein enolisiertes β -Ketoamid und eine Esterfunktion. Diese Strukturelemente sollten uns gestatten, das 3-Acyltetransäure-Motiv durch eine intramolekulare Acylierung zu gewinnen, die als Lacey-Dieckmann-Kondensation bekannt ist.^[25] Der Synthesebaustein (S,E)-5 besitzt die umgekehrte Polarität wie alle zuvor genutzten Substrate von Kreuzkupplungs-/Lacey-Dieckmann-Cyclo kondensations-Synthesen von Tetrasäuren.^[26] Weil (S,E)-5 reagierte wie wir planten, werden bereits etablierte Tetrasäure-Zugänge nützlich ergänzt.

Unser erstes Ziel war die Synthese des β -Ketothioesters **12** (Schema 2). Isomerenreine *trans*-Bromacrylsäure (**10**) wurde hierfür als Chlorid oder Anyhdrid aktiviert. Überra-



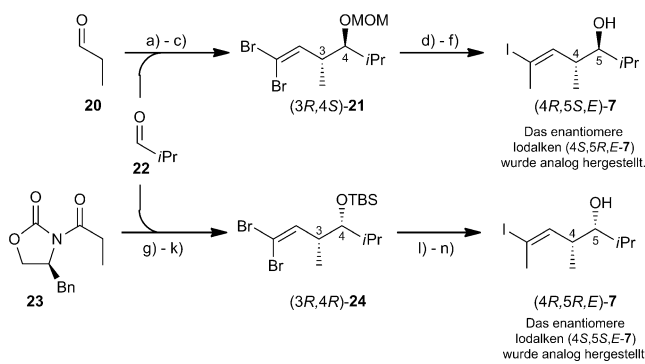
Schema 2. Herstellung des Synthesebausteins (S,E)-5 über eine Amiolyse des β -Ketothioesters **12**: a) T3P, $\text{Me}(\text{MeO})\text{NH}$, NMP, Raumtemp., 25 min; 86 %. b) Lösung von $n\text{BuLi}$ (in Hexan) und $\text{HN}[\text{Si}(\text{Me}_3)]_2$ in THF; Zugabe von tBuSAC , THF, -78°C , 1 h; $\text{MgBr}_2\text{-OEt}_2$, 1 h; Zugabe von **11** (1.0 Äquiv), 2 h; 83 %. c) β -Ketothioester **12**, AgO_2CCF_3 (1.1 Äquiv), MS 4 Å, THF, 0°C , 1 h; 83 % über die 2 Stufen. d) $\text{Me}_3\text{Si}(\text{CH}_2)_2\text{OH}$, DMAP, $\text{CH}_2\text{Cl}_2/\text{DMF}$ (10:1), 0°C , tropfenweise Zugabe von DCC in CH_2Cl_2 , $\rightarrow\text{RT}$, 15 h; 82 %. e) MeI , Ag_2O , DMF, RT, 18 h; 93 %. f) Pd (10 % auf C), H_2 (ca. 1.3 bar), EtOAc , 30 min; das Reaktionsprodukt wurde ohne weitere Reinigung weiterverarbeitet. DCC = Dicyclohexylcarbodiimid, MS = Molekularsieb, T3P = Propylphosphonsäureanhydrid, TMSE = 2-(Trimethylsilyl)ethyl.

schenderweise reagierte jede dieser Verbindungen mit lithiertem tBuSAC weiter als bis zum angestrebten Mono(thioester) **12**, indem auch etwas Bis(thioester) **18** entstand. Um diese Überreaktion auszuschließen, wandelten wir die *trans*-Bromacrylsäure (**10**) in ihr Weinreb-Amid^[27] **11** um; uns war allerdings kein Beispiel einer Acylierung eines Thioesterenolats durch ein Weinreb-Amid bekannt. Nach Einwirkung von DCC, katalytischem DMAP und $\text{Me}(\text{MeO})\text{NH}\text{-HCl}$ ^[28] erhielten wir bis zu 65 % Weinreb-Amid **11**, jedoch als Gemisch mit dem analogen Chlorid (**17**; 3 %). Die Bromacrylsäure **10**, Propylphosphonsäureanhydrid (T3P), *N*-Methylmorpholin^[29] und $\text{Me}(\text{MeO})\text{NH}$ ergaben das Weinreb-Amid **11** selektiv (86 % Ausbeute). Mit lithiertem tBuSAC zur Reaktion gebracht erhielten wir außer dem gewünschten Acylierungsprodukt **12** (40 % Ausbeute) ein 68:32-Gemisch (19 % Ausbeute) der 1,4-Additions-/β-Eliminierungs-Produkte **19** und *iso*-**19**. Erfreulicherweise konnten wir die ge-

wünschte Acylierung dadurch begünstigen, dass wir das Lithio-*t*BuSAC mit 2.2 Äquiv. MgBr₂OEt₂ ummetallierten, bevor wir das Weinreb-Amid **11** zusetzten. Der β-Ketothioester **12** entstand bei solchem Vorgehen laut ¹H-NMR-Analyse (300 MHz) nebenproduktfrei. Er wurde per Flash-Chromatographie über wenig Kieselgel^[30] gereinigt und in 83 % Ausbeute isoliert.

Als nächstes stellten wir den zuvor nicht beschriebenen Bis[(trimethylsilyl)ethyl]ester **16** von L-*N*-Methylglutaminsäure her (Schema 2). Sein Design sollte sicherstellen, dass der daraus hervorgehende Molekülteil auf dem Niveau der Polyenoyltetramssäure mit Bu₄NF entschütztbar sein würde.^[31] Wir veresterten *N*-(Benzylloxycarbonyl)glutaminsäure (**13**) mit (Trimethylsilyl)ethanol und DCC^[32] (→82 % **14**). Eine anschließende Umsetzung mit MeI und Ag₂O^[33] in DMF [wie von Olsen allgemein^[34] und von de Meijere et al.^[35] spezifisch für einen Diester von L-*N*-(Benzylloxycarbonyl)asparaginsäure beschrieben] ergab den *N*-methylierten Diester **15** in 93 % Ausbeute und mit 97–98 % ee. Eine Hydrogenolyse entfernte die Benzylloxycarbonylgruppe binnen 30 min. Sich selbst überlassen lactamisierte der resultierende Aminodiester **16** bei Raumtemperatur innerhalb von 2 Tagen.^[36] Um das zu vermeiden, führten wir die Verbindung **16** unmittelbar nach der Isolierung der Aminolyse des β-Ketothioesters **12** zu. Wir nutzten dabei AgO₂CCF₃ als Promotor, wie es für verwandte Reaktanden beschrieben wurde.^[37] Auf diese Weise erhielten wir das β-Ketoamid (*S,E*)-**5** in 83 % Gesamtausbeute über die 2 Stufen.

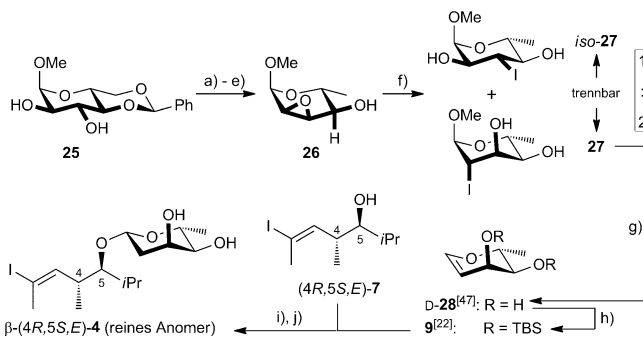
Die vier stereoisomeren Iodalkene (*E*)-**7** erhielten wir im Anschluss an bereits bekannte diastereo- und enantioselektive Aldoladditionen an Isobutyraldehyd (Schema 3). Durch L- oder D-Prolin katalysierte gekreuzte Aldoladditionen von Propionaldehyd an Isobutyraldehyd ergaben die entsprechenden anti-Aldole mit (2*R,3S*)- bzw. (2*S,3R*)-Konfiguration (Stufe a),^[38] wenn auch in niedrigeren Ausbeuten als den publizierten. Aldoladditionen der Borenolate von Evans' Propionyloxazolidinon **23** oder dessen Enantiomer an Isobutyraldehyd machten die erwarteten syn-konfigurierten Hydroxyimide mit (2*R,3R*)- bzw. (2*S,3S*)-Konfiguration zugänglich (Stufe g).^[39] Ohne die OH-Gruppen zu schützen,^[40] führten wir mit dem Wittig-Reagens, das aus CBr₄ und PPh₃ entsteht, eine C₁-Verlängerung der anti-Aldole durch. Das erbrachte die entsprechenden gem-Dibromalkene (Stufe b).^[41] Diese wurden MOM-geschützt, was die anti-konfigurierten Ether (3*R,4S*)-**21** bzw. (3*S,4R*)-**21** ergab. Evans' syn-Aldole wurden über literaturbekannte Stufen (h–j:^[39]) Bildung des Weinreb-Amids; *tert*-Butyldimethylsilylierung der OH-Gruppe; DIBAH-Reduktion) und mit der in der anti-Reihe bewährten gem-Dibrommethylidenierung (Stufe k)^[41] weiterverarbeitet. Das führte zu den syn-konfigurierten Ethern (3*R,4R*)-**24** bzw. (3*S,4S*)-**24**. Jedes Dibromalken wurde einem Br→Li-Austausch unterworfen, der eine Fritsch-Buttenberg-Wiechell-Umlagerung initiierte.^[42] Das jeweils gebildete Lithioalkin wurde in situ C-methyliert.^[43] Jeweils nach Hydrazirkonierung, Iodolyse und Abspaltung der jeweiligen Schutzgruppe gelangten wir problemlos zu den anti-konfigurierten Iodalkenen (4*R,5S,E*)- und (4*S,5R,E*)-**7** (über die Stufen d–f) bzw. deren syn-Diastereomeren (4*R,5R,E*)- und (4*S,5S,E*)-**7** (über die Stufen l–n).



Schema 3. Herstellung der vier Stereoisomere des Iodalkens (*E*)-**7** als reine Enantiomere: a) Aldehyd **20**, L-Prolin, DMF, 4 °C; Zugabe des Aldehyds **22** in DMF während 30 h; 4 °C, 15 h; 41 %. b) CBr₄, PPh₃, CH₂Cl₂, 0 °C, 10 min; Zugabe des Produkts von Stufe (a), –78 °C, 1 h; 73 %, 99 % ee (GC). c) CH₃OCH₂Cl, iPr₂NEt, CH₂Cl₂, 50 °C in geschlossenem Gefäß, 4 h; 84 %. d) nBuLi (in Hexan), THF, –78 °C, 1 h; Mel, →RT, 1 h; 87 %. e) [Cp₂ZrHCl], THF, –10 °C; →40 °C, 45 min; Zugabe einer Lösung von I₂ in THF, 0 °C, 5 min; 75 %. f) HCl_{konz.}, MeOH, 60 °C, 30 min; 87 %. g) Bu₂BOTf, NEt₃, CH₂Cl₂, 0 °C, 15 min; –78 °C; Aldehyd **22**, 1 h; →0 °C; Zugabe von H₂O₂ (30 % in H₂O), MeOH, Phosphatpuffer (pH 7), 1.5 h; 91 % (Lit.:^[39] 99 %), d.r. >95:5 (¹H-NMR, 400 MHz, CDCl₃). h) Me(MeO)NH-HCl, AlMe₃, CH₂Cl₂, –15 °C →RT, 3 h; 88 % (Lit.:^[39] 88 %). i) TBSOTf, 2,6-Lutidin, CH₂Cl₂, RT, 20 min; 97 % (Lit.:^[39] 99 %). j) (iBu)₂AlH, THF, –78 °C, 1.5 h; das Reaktionsprodukt wurde ohne weitere Reinigung weiterverarbeitet. k) PPh₃, CBr₄, CH₂Cl₂, 0 °C, 30 min; 80 % über die 2 Stufen. l) Wie (d), aber 90 %. m) [Cp₂ZrHCl], MS 4 Å, THF, –10 °C →RT, 1.5 h; I₂, 0 °C, 5 min; 79 %. n) BF₃OEt₂, CH₂Cl₂, 0 °C →RT, 2 h; 95 %. MOM = Methoxymethyl, MS = Molekularsieb, TBSOTf = tBuMe₂SiO₃SCF₃.

Zu einem späteren Zeitpunkt unserer Synthese stellte sich heraus, dass natürlich konfiguriertes α-Lipomycin (**3**) als Syntheseziel höchstwahrscheinlich erforderlich würde, darin ein β-Digitoxid des anti-konfigurierten Iodalken-Enantiomers (4*R,5S,E*)-**7** zu inkorporieren. Dementsprechend synthetisierten wir solch ein Digitoxid β-(4*R,5S,E*)-**4** aus dem Digitoxyl-Donor D-**28** (Schema 4). Ein 9-stufiger Zugang zu D-**28** war in der Literatur beschrieben.^[22] Wir stellten D-**28** jedoch auf andere Weise her, nämlich durch Silylieren des zugrundeliegenden Diols **9**, für das eine 7-Stufen-Synthese bekannt war. Zuerst wurde das käufliche Methyl-α-D-glucosid **25** tosyliert (Stufe a).^[44] Eine Epoxid-Bildung durch Zugabe von Base (Stufe b)^[45] und eine Defunktionalisierung von C-6 schlossen sich an (Stufen c–e).^[46] Das erhaltene Epoxid **26** und Lithiumiodid gingen mit einer 2:1-Regioselektivität (Lit.:^[47] 4:1) zugunsten des Fürst-Plattner-Produkts **27** ein Ringöffnung ein (Stufe f). **27** wurde flash-chromatographisch vom mengenmäßig geringeren Regiosomer iso-**27** abgetrennt.^[30] Obwohl das Ringöffnungsprodukt **27** ein Iodhydrin ist, reagierte es mit BuLi nicht zum Epoxid **26** zurück, sondern unterzog sich einem I–Li-Austausch. Ihm folgte sofort eine β-Eliminierung von LiOMe, womit D-Digitoxal (D-**28**; Stufe g^[47]) fertiggestellt war. Abschließend wurde zum Glycal **9** bis(*tert*-butyldimethylsilyliert) (Stufe h, 63 % Ausbeute).^[48]

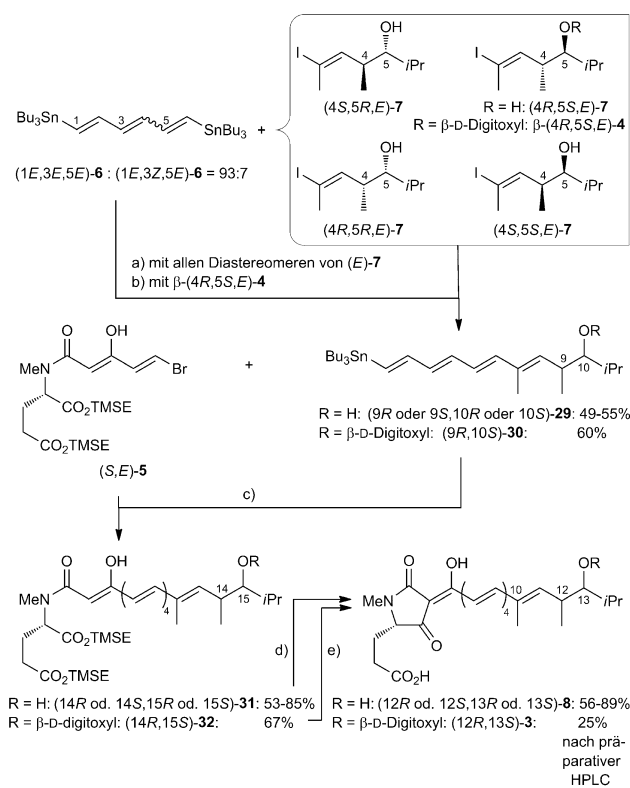
Es war bekannt, dass das Glycal **9** und 1 Mol-% PPh₃·HBr bei Raumtemperatur in 88 % Aubeute die β-selektive (97:3) Digitoxylierung eines sterisch anspruchsvollen sekundären Alkohol zuwegebrachten.^[22] Eine analog eingeleitete Digi-



Schema 4. Herstellung von D-Digitoxal (**D-28**) nach Literaturvorschriften,^[44–47] dessen Silylierung (→**9**) analog zu Lit. [51] und eine β-selektive Digitoxylierung des Iodalkens (*4R,5S,E*)-**7** [→(4*R,5S,E*)-**4**]: a) pTsCl, Pyridin, 55 °C, 4 d; 95 % (Lit.:^[44] 78%). b) NaOMe, CH₂Cl₂/MeOH (6:1), 0 °C, 2 d; RT, 1 d; 86 % (Lit.:^[45] 85%). c) NBS, AIBN, Benzol, Rückfluss, 15 min; erneut AIBN, Rückfluss, 15 min; 84 % [Lit. [46] publizierte für eine ähnliche Prozedur mit (PhCO₂)₂ statt AIBN und für 30 min Reaktionszeit keine Ausbeute]. d) NaOMe, MeOH, RT, 20 min; 92 % (77 % über die 2 Stufen; Lit.^[46] „über Nacht“: 80 % über die 2 Stufen). e) NaBH₄, NiCl₂·6H₂O, H₂O/EtOH (3:1), Rückfluss, 50 min; Zugabe von weiterem NaBH₄ in H₂O, Rückfluss, 40 min; 84 % (Lit.:^[46] 95%). f) LiI-(H₂O)_{1.5-3.0}, HOAc, CHCl₃, Raumtemp., 2 h; 40 °C, 1.5 h; 61 % (Lit.:^[47] 52%). g) nBuLi (in Hexan), THF, -15 °C, 30 min; 40 °C, 1 h; 80 % Rohprodukt (Lit.:^[47] mit MeLi statt nBuLi: 67%). h) TBSOTf, Imidazol, DMAP, DMF, 55 °C, 2 h; 63 %. i) PPh₃·HBr, 50 °C, 3 d; 80 % (*4R,5S,E*)-**4**. j) Bu₄N⁺·F⁻, THF, RT, 5 h; 73 %. – AIBN = Azobis(isobutyronitril), DMAP = 4-(*N,N*-Dimethylamino)pyridin, NBS = *N*-Bromsuccinimid, pTs = para-Toluolsulfonyl.

toxylierung unseres sekundären Alkohols („Iodalkens“) (*4R,5S,E*)-**7** vollzog sich viel langsamer. Um dieses Substrat vollständig umzusetzen, mussten wir mehr Katalysator (11 Mol-% PPh₃·HBr), eine höhere Reaktionstemperatur (50 °C) und eine längere Reaktionszeit (3 d) in Anspruch nehmen. Erfreulicherweise bildete sich dabei ein einziges Digitoxid (80% Ausbeute). Sein anomeres Kohlenstoffatom war β-konfiguriert. Das ging ¹H-NMR-spektroskopisch (400.1 MHz, CDCl₃) aus den Größen der Kupplungskonstanten zwischen allen Paaren vicinaler Protonen im Tetrahydropyranring hervor.^[49] Durch Entschützen mit Bu₄N⁺F⁻ erhielten wir den zuckerhaltigen Synthesebaustein (*4R,5S,E*)-**4** in 73% Ausbeute.

Nach Erhalt der sechs Synthesebausteine, die die retrosynthetische Analyse von Schema 1 voraussetzte, um die vier Diastereomere von β-Lipomycin (**8**) – darunter das natürliche – aufzubauen, verknüpften wir sie durch Stille-Kupplungen (Schema 5). Die höchsten Gesamtausbeuten resultierten, wenn wir als erstes gleich welches Iodalken-Stereoisomer **7** mit dem Distannan (*E,E,E*)-**6**^[21] kuppeln (Stufe a; 49–55% Ausbeute). Als zweites wurden dann jedes der erhaltenen Monostannane **29** und das bromvinillierte β-Ketoamid (*S,E*)-**5** durch Stille-Kupplung verknüpft (Stufe c; 53–85% Ausbeute). Die gebildeten Pentaene **31** enthielten bereits alle C-Atome von β-Lipomycin (**8**).^[50] Jedes dieser Pentaene **31** unterzog sich nach Zugabe von Tetramethylguanidin einer Lacey-Dieckmann-Cyclisierung,^[25] danach hinzugefügtes Bu₄N⁺F⁻ spaltete die verbliebene TMSE-Gruppe ab (1-Topf-Prozedur; Stufe d, 56–89% Ausbeute). Das brachte uns in den Besitz des erwünschten Satzes aller vier Diastereomere

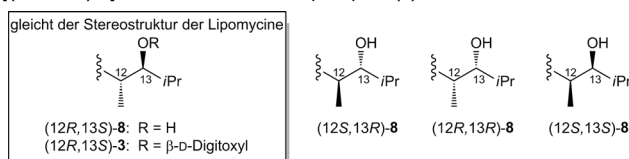


Schema 5. Fünf sequentielle Stille-Biskupplungen des Bis(stannans) (*E,E,E*)-**6**,^[21] der sich jeweils eine Kombination aus Lacey-Dieckmann-Kondensation^[25] (**31** → **8**; **32** → **3**) und Desilylierung anschließt: a) **6**, Bu₄N⁺Ph₂PO₂⁻, AsPh₃, Cul, [Pd(dba)₂], MS 4 Å, NMP, RT, 0.25–2 h; 49–55%.^[14] b) Wie (a), aber mit β-(4*R,5S,E*)-**4**, NMP/THF (10:1), 30 min; 60%. c) (*S,E*)-**5**, AsPh₃, [Pd(dba)₂], NMP, 1.25–3 h; 53–85%.^[14] d) N,N,N',N'-Tetramethylguanidin, THF, RT, 2–3 h; Zugabe von Bu₄N⁺F⁻, 40–50 °C, 1–3 h; 56–89%. e) N,N,N',N'-Tetramethylguanidin, THF, RT, 30 min; Zugabe von Bu₄N⁺F⁻, 50 °C, 1 h; Gemisch aus 49% (12*R,13S*)-**3** und 24% (12*R,13S*)-**8**; nach präparativer HPLC 25% (12*R,13S*)-**3**. BHT = Di-*tert*-butyl-*para*-hydroxytoluol, dba = Dibenzylideneacetone, MS = Molekularsieb, NMP = N-Methylpyrrolidone. Zur Herstellung des Isomers (9*S,10S*)-**29** ersetzen wir Bu₄N⁺Ph₂PO₂⁻ und das MS 4 Å durch BHT (2 Mol-%).^[14] Zur Herstellung der Isomere (14*S,15S*)- und (14*R,15S*)-**31** verwendeten wir Bu₄N⁺Ph₂PO₂⁻ (1.5 Äquiv).

mit der Konstitution von β-Lipomycin (**8**). Keines ihrer ¹H- oder ¹³C-NMR-Spektren in CDCl₃ ließ eine nennenswerte Menge eines Fremd-Isomers erkennen. Die NMR-Spektren des Diastereomers (12*R,13S*)-**8** waren sogar vollkommen isomerenfrei. In jedem **8**-Diastereomer waren die disubstituierten C=C-Doppelbindungen *E*-konfiguriert. Das zeigten die dazugehörigen ³J_{CH=CH}-Werte. Im Diastereomer (12*R,13S*)-**8** war auch die trisubstituierte C=C-Doppelbindung *E*-konfiguriert. Ein NOE zwischen 12-H und 10-CH₃ bewies das.

Lösungen von (12*R,13S*)-, (12*S,13R*)-, (12*R,13R*)- und (12*S,13S*)-**8** in Methanol waren ausnahmslos linksdrehend. Der spezifische Drehwert von (12*R,13S*)-**8** ([α]_D²⁰ = -180) ähnelt dem publizierten Wert von natürlichem β-Lipomycin (**8**; -176)^[15] sehr, während die spezifischen Drehwerte der drei anderen Diastereomere (-45, -136 bzw. -120) substantiell davon abweichen (Tabelle 1). Sofern diese Zahlen nicht durch

Tabelle 1: Spezifische Drehwerte von synthetischem β -Lipomycin [(12R,13S)-8], seinen Diastereomeren (12S,13R)-, (12R,13R)- und (12S,13S)-8, natürlichem β -Lipomycin (8)^[15], synthetischem α -Lipomycin [(12R,13S)-3] und natürlichem α -Lipomycin (3).^[15]

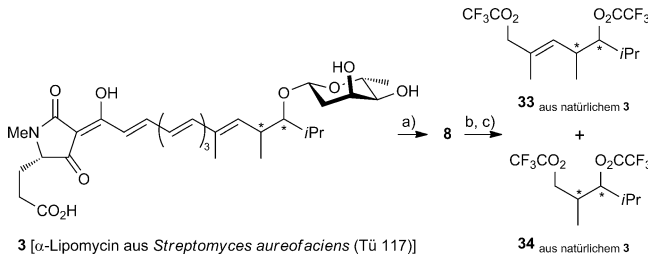


Tetraacidsäure	$[\alpha]_D^{20}$ in MeOH	Natürliche Lipomycine: $[\alpha]_D^{20}$ in MeOH ^[15]
(12R,13S)-8	-180 ($c=0.080$)	-176 ($c=0.09$)
(12S,13R)-8	-45 ($c=0.031$)	
(12R,13R)-8	-136 ($c=0.035$)	
(12S,13S)-8	-120 ($c=0.045$)	
(12R,13S)-3	-237 ($c=0.10$)	-229 ($c=0.10$)

optisch aktive Verunreinigungen verfälscht wurden, galt die Schlussfolgerung, dass die Seitenkette von β -Lipomycin (8) (12R,13S)-konfiguriert ist. Dieses Resultat erhärteten wir dadurch, dass wir die Synthese des identisch konfigurierten Diastereomers (12R,13S)-3 von α -Lipomycin abschlossen (Schema 5). Dieses Molekül wurde unter Verwendung des digitoxylierten Iodalken-Synthesebausteins β -(4*R*,5*S*,*E*)-4 durch dieselben Transformationen fertiggestellt, die zuvor zum Aglycon (12R,13S)-8 (β -Lipomycin) geführt hatten: 1) Stille-Kupplung mit dem Distannan (*E,E,E*)-6^[21] (Stufe b; 60% Ausbeute); 2) Stille-Kupplung des erhaltenen Monostannans (9*R*,10*S*)-30 mit dem bromvinylierten β -Ketoamid (*S,E*)-5 (Stufe c; 67% Ausbeute); 3) Lacey-Dieckmann-Cyclisierung^[25]/Abspaltung der TMSE-Gruppe (Stufe e). Zunächst erbrachte diese Vorgehensweise ein 67:33-Gemisch aus α -Lipomycin [(12R,13S)-3] und durch unerwünschte Deglycosylierung entstandenem β -Lipomycin [(12R,13S)-8]. Deren Trennung durch präparative HPLC hinterließ synthetisches α -Lipomycin [(12R,13S)-3] in 25% Ausbeute. Das ^1H -NMR-Spektrum (500 MHz, CDCl_3) dieser Verbindung zeigte außergewöhnlich breite Signale. Stark verbreiterte ^1H - und intensitätsschwache ^{13}C -NMR-Resonanzen, die wir beim synthetischen α -Lipomycin [(12R,13S)-3] gleichfalls feststellten, treten in Acylteträmsäuren bekanntermaßen auf.^[3,51] Beide Phänomene wurden als Folge davon erklärt, dass diese Verbindungen dazu tendieren, verunreinigende Mg^{2+} -, Ca^{2+} - und/oder Fe^{2+} -Ionen aus Kieselgel „aufzusammeln“.^[51] Vor diesem Hintergrund betrachteten wir die NMR-Spektren unserer Verbindung (12R,13S)-3 als normal und ergriffen keine Gegenmaßnahmen (vgl. Lit. [3]). Synthetisches α -Lipomycin [(12R,13S)-3] zeigte in methanolischer Lösung einen spezifischen Drehwert von $[\alpha]_D^{20}=-237$ (Tabelle 1). Das unterschied sich um nur 3.5% vom spezifischen Drehwert $[\alpha]_D^{20}=-229$ des natürlichen α -Lipomycin (3).^[15]

So wahrscheinlich erscheinen möchte, dass sowohl die Konfigurationszuweisung der Seitenketten-Stereozentren als auch die Totalsynthese einerseits von α - (3) und andererseits von β -Lipomycin (8) gelungen war, blieben Zweifel. Letzten Endes fußte unsere Argumentation nämlich nur auf $[\alpha]_D^{20}$ -Werten. Insbesondere verhinderte das Nichtvorliegen von Hochfeld-NMR-Daten der Naturstoffe^[15–17] ^1H - und ^{13}C -

NMR-Vergleiche als Identitätsbeweise. In dieser Lage strebten wir einen unabhängigen Beleg für die Seitenketten-Konfigurationen in den Lipomycinen an. Wir wollten daher natürliches Lipomycin so abbauen, dass die Seitenketten-Stereozentren nicht angegriffen und ihre Konfigurationen durch GC-Vergleiche mit synthetischen Reinsubstanzen erkennbar würden (Schema 6). Mit dieser Zielsetzung isolierten wir aus



3 [α -Lipomycin aus *Streptomyces aureofaciens* (Tü 117)]

Schema 6. Chemischer Abbau von α -Lipomycin (3) über β -Lipomycin (8); es wurden keine Ausbeuten bestimmt. a) Wässr. HCl (10%)/H₂O/MeCN (4:32:64, v:v:v), 5 h; präparative HPLC [XBridge, MeOH/H₂O (45:55, v:v)] + NH₃ (10 mM), 16 mL min⁻¹, $\lambda_{UV/Vis} = 300 \text{ nm}$, $t_{1,8} = 8.0 \text{ min}$. b) NaIO₄ (13.2 Äquiv), K₂OsO₄·2H₂O (30 Mol-%), EtOH/H₂O (1:1, v:v), RT, 1.5 h; NaBH₄ (120 Äquiv), 1 h. c) $(\text{CF}_3\text{CO})_2\text{NMe}$ (50 Äquiv), Et₂O, RT, 2 h. Das erhaltene 33/34-Gemisch (ca. 1:1) wurde gaschromatographisch analysiert (Tabelle 2).

Streptomyces aureofaciens Tü 177 zunächst natürliches α -Lipomycin (3). Wir extrahierte hierfür 4.4 L einer entsprechenden Kulturflüssigkeit mit einem ebenso großen Volumen Essigester, verdampften das Lösungsmittel, reinigten den Rückstand per HPLC und lösten, was wir daraufhin isolierten [α -Lipomycin (3)], in Acetonitril/Wasser (2:1). Wir fügten HCl hinzu, um zu β -Lipomycin (8) zu deglycosylieren. Danach sättigten wir die Lösung durch Zugabe von festem NaCl, extrahierte mit *t*BuOMe und reinigten per HPLC zu einem Gemisch aus 7.8 mg β -Lipomycin (8) und 0.9 mg mutmaßlich eines (*Z*)-Isomers auf. Das 400-MHz ^1H -NMR-Spektrum (CDCl_3) dieser Probe natürlichen β -Lipomycins (8) ähnelte den ^1H -NMR-Spektren von (12R,13S)-8 und ebenso von (12S,13R)-8 (also den *ul*-Isomeren) in jeder Weise, aber unterschied sich von den Spektren von (12R,13R)-8 ebenso wie von (12S,13S)-8 (also den *lk*-Isomeren) in zweierlei Hinsicht: 1) Die drei $\text{CH}-\text{CH}_3$ -Gruppen verursachten in natürlichem 8 und in *ul*-8 2 Dubletts, aber 3 Dubletts in *ul*-8; 2) die $\text{CMe}=\text{CH}$ -Resonanz von natürlichem 8 und von *ul*-8 trat bei $\delta = 5.60 \text{ ppm}$ auf, während sie in *lk*-8 bei $\delta = 5.48 \text{ ppm}$ beobachtet wurde. Diese Übereinstimmungen bzw. Unterschiede beweisen eindeutig – und in Einklang mit unseren früheren Schlussfolgerungen –, dass die Seitenkette von α - (3) und β -Lipomycin (8) *anti*-konfiguriert ist.

Wir spalteten in dem oben erwähnten 7.8:0.9-Gemisch aus β -Lipomycin (8) und mutmaßlich einem (*Z*)-Isomer unter Lemieux-Johnson-Bedingungen die (meisten) C=C-Doppelbindungen. Wir reduzierten die erwarteten Carbonylverbindungen mit NaBH₄. Das ergab ein Gemisch, worin wir per GC/MS ein C=C-haltiges 1,5-Diol und ein C=C-freies 1,3-Diol identifizierten. Dieses Gemisch wurde mit Bis(trifluoracet)imid^[52] zu den Bis(trifluoracetaten) 33 bzw. 34 verestert (Tabelle 2). Für GC-Vergleiche stellten wir je einen Satz aller

Tabelle 2: Nachweis der 3D-Struktur der Seitenketten von α -Lipomycin (3) und β -Lipomycin (8) mithilfe von GC-Vergleichen ihrer bis(trifluoracetierten) Abbauprodukte 33 aus 3 über 8 und 34 aus 3 über 8 mit zwei vollständigen Sätzen synthetischer Vergleichsverbindungen.

Abbau- produkt von Lipomycin	GC-Reten- tionszeit ^[a] des Abbaupro- dukts	Synthetisches Vergleichs- Bis(trifluor- acetat)			GC-Reten- tionszeit ^[a]
		(4R,5S)-33	(4S,5R)-33	(4R,5R)-33	
33 aus 3 über 8	45.5 min	(4R,5S)-33 (4S,5R)-33 (4R,5R)-33 (4S,5S)-33	45.7 min 43.4 min 60.1 min 59.7 min		
Abbau- produkt von Lipomycin	GC-Reten- tionszeit ^[b] des Abbaupro- dukts	Synthetisches Vergleichs- Bis(trifluor- acetat)			GC-Reten- tionszeit ^[b]
		(2S,3R)-34 (2R,3R)-34 (2R,3R)-34 (2S,3S)-34	(2S,3R)-34 (2R,3R)-34 (2S,3S)-34	(2S,3S)-34	
34 aus 3 über 8	38.9 min	(2R,3S)-34 (2S,3R)-34 (2R,3R)-34 (2S,3S)-34	38.9 min 38.0 min 37.1 min 36.1 min		

[a] GC-Bedingungen: Astec Chiraldex G-TA, Säulenlänge 30 m, Säulen-
durchmesser 0.25 mm, Schichtdicke 0.12 μm , $T_{\text{Injektor}} = 200^\circ\text{C}$, $T_{\text{Säule}} = 85^\circ\text{C}$ (isokratisch), Flammenionisationsdetektor. [b] GC-Bedingungen: FS-Cyclodex beta-I/P, Säulenlänge 50 m, Säulen Durchmesser 0.32 mm [die Schichtdicke ist auf der Website des Herstellers (<http://www.cs-chromatographie.de>) nicht angegeben und blieb uns demzufolge unbekannt], $T_{\text{Injektor}} = 250^\circ\text{C}$, $T_{\text{Säule}} = 80^\circ\text{C}$ (isokratisch), Flammen-
ionisationsdetektor.

Stereoisomere dieser beiden Bis(trifluoracetate) her.^[55] GC-Analysen der Bis(trifluoracetate) aus abgebautem Lipomycin zusammen mit je einem der vier einschlägigen synthetischen Vergleichs-Bis(trifluoracetate) an enantiomererenreinen Phasen ermöglichte anhand paarweise identischer Retentionszeiten (Tabelle 2), das Bis(trifluoracetat) 33 aus 3 über 8 als (4R,5S)-33 und das Bis(trifluoracetat) 34 aus 3 über 8 als (2R,3S)-34 zu identifizieren. Die erste Identität bewies ebenso wie die zweite, dass die Seitenketten-Stereozentren in α - (3) und in β -Lipomycin (8) 12R- und 13S-konfiguriert sind. Dasselbe hatten unsere Totalsynthesen impliziert.

Unsere Synthese von β -Lipomycin [(12R,13S)-8] erforderte 16 Stufen, umfasst 9 Stufen in der längsten linearen Sequenz und ergab 6% Ausbeute. Eine nachfolgende Publikation beschreibt eine unabhängige und andere Synthese ebenfalls von β -Lipomycin.^[20] Sie wurde im Anschluss an eine umfassende Analyse von Polyketidsynthase-Genomen vorgenommen,^[19] die eine korrekte Vorhersage der Konfigurationen an C-12 und C-13 ermöglicht hatte. Hätte man ge-

genüber „Konfigurationszuordnungen auf der Grundlage von Synthese und/oder Genomanalyse“ Vorbehalte geltend machen können, ist der obige „(doppelte) Konfigurationsbeweis nach chemischem Abbau“ hieb- und stichfest.

Altamycin^[54] und Olefinic^[55] sind 3-Polyenoyltetraenoate mit den Konstitutionen des nächst niedrigeren bzw. nächsthöheren Vinylogen von α -Lipomycin (3). Diese Ähnlichkeit legt die Frage nahe, ob darin die Seitenketten-Stereozentren ebenso wie in α -Lipomycin (3) konfiguriert sind, d.h., ob Altamycin Bisnor- α -lipomycin gleich und Olefinic Bisnor- α -lipomycin. Der funktionierende Abbau von α -Lipomycin (3) zu den Bis(trifluoracetaten) 33 und 34 und unser Pool stereochemisch einheitlicher synthetischer 33- und 34-Isomere^[53] machen Vervollständigungen der 3D-Strukturen von Altamycin und Olefinic leicht vorstellbar. Die retrosynthetischen Schnitte, gemäß denen unsere Totalsynthese von α -Lipomycin (3) erfolgte, deuten überdies an, wie man ganz ähnlich auch Altamycin, Olefinic und andere 3-Polyenoyltetraenoate synthetisieren können sollte.

Eingegangen am 17. Februar 2014
Online veröffentlicht am 4. Juni 2014

Stichwörter: Konfigurationszuordnung · Kreuzkupplungen · Naturstoffe · Polyene · Tetraenoate

- [1] Übersichten: a) H.-G. Henning, A. Gelbin, *Adv. Heterocycl. Chem.* **1993**, 57, 139–185; b) B. J. L. Royles, *Chem. Rev.* **1995**, 95, 1981–2001; c) E. L. Ghisalberti in *Studies in Natural Product Chemistry*, Vol. 28 (Hrsg.: Atta-ur-Rahman), Elsevier, Dordrecht, **2003**, S. 109–163; d) R. Schobert, A. Schlenk, *Bioorg. Med. Chem.* **2008**, 16, 4203–4221; e) Y.-C. Jeong, M. Anwar, Z. Bikadi, E. Hazai, M. G. Moloney, *Chem. Sci.* **2013**, 4, 1008–1015.
- [2] L. Jurd, *J. Heterocycl. Chem.* **1996**, 33, 1227–1232.
- [3] Y.-C. Jeong, M. G. Moloney, *J. Org. Chem.* **2011**, 76, 1342–1354.
- [4] V. V. Gromak, V. G. Avakyan, O. F. Lakhvich, *J. Appl. Spectrosc.* **2000**, 67, 205–215.
- [5] C. E. Stickings, *Biochem. J.* **1959**, 72, 332–340.
- [6] 29. Januar 2013: Gegenstand der Recherche waren Tautomere 1 (125 Treffer) und deren Enol (90 Treffer); insgesamt ergaben sich 177 unterschiedliche Treffer.
- [7] Zum Beispiel: a) F. Vinale, G. Flematti, K. Sivasithamparam, M. Lorito, R. Marra, B. W. Skelton, E. L. Ghisalberti, *J. Nat. Prod.* **2009**, 72, 2032–2035; b) J. C. Carlson, S. Li, D. A. Burr, D. H. Sherman, *J. Nat. Prod.* **2009**, 72, 2076–2079; c) S. Cao, J. A. V. Blodgett, J. Clardy, *Org. Lett.* **2010**, 12, 4652–4654; d) M. Isaka, P. Chinthanom, S. Supothina, P. Tobwor, N. L. Hywel-Jones, *J. Nat. Prod.* **2010**, 73, 2057–2060; e) Z. Yu, S. Vodanovic-Jankovic, N. Ledeboer, S.-X. Huang, S. R. Rajski, M. Kron, B. Shen, *Org. Lett.* **2011**, 13, 2034–2037; f) R. Kumar, R. Subramani, K.-D. Feussner, W. Aalbersberg, *Mar. Drugs* **2012**, 10, 200–208; g) M. E. Rateb, Z. Yu, Y. Yan, D. Yang, T. Huang, S. Vodanovic-Jankovic, M. A. Kron, B. Shen, *J. Antibiot.* **2014**, 67, 127–132.
- [8] T. Sengoku, Y. Nagae, Y. Ujihara, M. Takahashi, H. Yoda, *J. Org. Chem.* **2012**, 77, 4391–4401.
- [9] K. Kempf, A. Raja, F. Sasse, R. Schobert, *J. Org. Chem.* **2013**, 78, 2455–2461.
- [10] Y. Ujihara, K. Nakayama, T. Sengoku, M. Takahashi, H. Yoda, *Org. Lett.* **2012**, 14, 5142–5145.
- [11] A. Yajima, C. Ida, K. Taniguchi, S. Murata, R. Katsuta, T. Nukada, *Tetrahedron Lett.* **2013**, 54, 2497–2501.
- [12] H. Ikeda, N. Matsumori, M. Ono, A. Suzuki, A. Isogai, H. Nagasawa, S. Sakuda, *J. Org. Chem.* **2000**, 65, 438–444.

- [13] S. Matsunaga, N. Fusetani, Y. Kato, *J. Am. Chem. Soc.* **1991**, *113*, 9690–9692.
- [14] Bicyclische Tetramäuren sind ein weiterer Gegenstand aktuellen Interesses: a) C. A. Holloway, C. J. Matthews, Y.-C. Jeong, M. G. Moloney, C. F. Roberts, M. Yaqqob, *Chem. Biol. Drug Des.* **2011**, *78*, 229–235; b) Y.-C. Jeong, M. Anwar, T. M. Nguyen, B. S. W. Tan, C. L. L. Chai, M. G. Moloney, *Org. Biomol. Chem.* **2011**, *9*, 6663–6669; c) M. Anwar, M. G. Moloney, *Chem. Biol. Drug Des.* **2013**, *80*, 645–649.
- [15] B. Kunze, K. Schabacher, H. Zähner, A. Zeeck, *Arch. Mikrobiol.* **1972**, *86*, 147–174.
- [16] K. Schabacher, A. Zeeck, *Tetrahedron Lett.* **1973**, *14*, 2691–2694.
- [17] A. Zeeck, *Justus Liebigs Ann. Chem.* **1975**, 2079–2088.
- [18] A. Bihlmaier, E. Welle, C. Hofmann, K. Welzel, A. Vente, E. Breitling, M. Müller, S. Glaser, A. Bechthold, *Antimicrob. Agents Chemother.* **2006**, *50*, 2113–2121.
- [19] A. Kitsche, M. Kalesse, *ChemBioChem* **2013**, *14*, 851–861.
- [20] Diese Einsicht stand am Beginn einer unabhängigen zweiten Totalsynthese von β -Lipomycin (8); O. Hartmann, M. Kalesse, *Angew. Chem.* **2014**, DOI: 10.1002/ange.201402259; *Angew. Chem. Int. Ed.* **2014**, DOI: 10.1002/anie.201402259.
- [21] a) R. Brückner, K. Siegel, A. Sorg in *Strategies and Tactics in Organic Synthesis*, Vol. 5 (Hrsg.: M. Harmata), Elsevier, Amsterdam, **2004**, S. 437–473; b) A. Sorg, R. Brückner, *Angew. Chem.* **2004**, *116*, 4623–4626; *Angew. Chem. Int. Ed.* **2004**, *43*, 4523–4526; c) A. Sorg, K. Siegel, R. Brückner, *Chem. Eur. J.* **2005**, *11*, 1610–1624; d) J. Burghart, R. Brückner, *Eur. J. Org. Chem.* **2011**, 150–165.
- [22] Bis(*tert*-butyldimethylsilyl)-geschütztes D-Digitoxal (9) als Glycosylierungsmittel: a) F. E. McDonald, K. Subba Reddy, Y. Diaz, *J. Am. Chem. Soc.* **2000**, *122*, 4304–4309; b) F. E. McDonald, K. Subba Reddy, *Angew. Chem. Int. Ed.* **2001**, *40*, 3653–3655; *Angew. Chem.* **2001**, *113*, 3765–3767.
- [23] M. J. C. Buckle, I. Fleming, S. Gil, K. L. C. Pang, *Org. Biomol. Chem.* **2004**, *2*, 749–769.
- [24] S. C. Archibald, D. J. Barden, J. F. Y. Bazin, I. Fleming, C. F. Foster, A. K. Mandal, A. K. Mandal, D. Parker, K. Takaki, A. C. Ware, A. R. B. Williams, A. B. Zwicky, *Org. Biomol. Chem.* **2004**, *2*, 1051–1064.
- [25] R. N. Lacey, *J. Chem. Soc.* **1954**, 850–854.
- [26] Frühere Substrate von Kreuzkupplungs-/Lacey-Dieckmann-Cyclo kondensations-Routen^[25] zu Tetramäuren waren die stannylierten (β -Ketoamid)ester **35** (D. J. Dixon, S. V. Ley, T. Gracza, P. Szolcsanyi, *J. Chem. Soc. Perkin Trans. 1* **1999**, 839–841) und **36** (D. A. Longbottom, A. J. Morrison, D. J. Dixon, S. V. Ley, *Angew. Chem. Int. Ed.* **2002**, *41*, 2786–2790; *Angew. Chem.* **2002**, *114*, 2910–2914; D. A. Longbottom, A. J. Morrison, D. J. Dixon, S. V. Ley, *Tetrahedron* **2003**, *59*, 6955–6966). Anders als unsere (β -Ketoamid)ester **5** fungierten **35** und **36** bei ihren Kreuzkupplungen als Nucleophile.
- (S,E)-5:** CC(C(=O)OC(=O)SSe23C=C[C@H](C[C@H]2CBr)C=C[C@H]3C)N(C)C

35: CC(C(=O)OC(=O)SCoC1=CC=C[C@H](C[C@H]1C)C=C[C@H]2C[C@H]2SnBu3)N(C)C

36: CC(C(=O)OC(=O)SCoC1=CC=C[C@H](C[C@H]1C)C=C[C@H]2C[C@H]2SnBu3)N(C)C
- [27] S. Nahm, S. M. Weinreb, *Tetrahedron Lett.* **1981**, *22*, 3815–3818.
- [28] Methode: R. H. Munday, R. M. Denton, J. C. Anderson, *J. Org. Chem.* **2008**, *73*, 8033–8038.
- [29] Prozedur: http://www.euticals.com/attachments/082_t3p.pdf.
- [30] W. C. Still, M. Kahn, A. Mitra, *J. Org. Chem.* **1978**, *43*, 2923–2925.
- [31] P. Sieber, *Helv. Chim. Acta* **1977**, *60*, 2711–2716.
- [32] Methode: A. J. Pearson, M. V. Chelliah, *J. Org. Chem.* **1998**, *63*, 3087–3098.
- [33] Ag₂O wurde hergestellt, wie bei D. E. Janssen, C. V. Wilson, *Org. Synth.* **1956**, *36*, 46–47 beschrieben.
- [34] R. K. Olsen, *J. Org. Chem.* **1970**, *35*, 1912–1915.
- [35] V. N. Belov, M. Brands, S. Raddatz, J. Krüger, S. Nikolskaya, V. Sokolov, A. de Meijere, *Tetrahedron* **2004**, *60*, 7579–7589.
- [36] Details: Hintergrundinformationen.
- [37] S. V. Ley, S. C. Smith, P. R. Woodward, *Tetrahedron* **1992**, *48*, 1145–1174.
- [38] a) A. B. Northrup, D. W. C. MacMillan, *J. Am. Chem. Soc.* **2002**, *124*, 6798–6799; b) P. M. Pihko, A. Erkkilä, *Tetrahedron Lett.* **2003**, *44*, 7607–7609; c) A. Córdova, *Tetrahedron Lett.* **2004**, *45*, 3949–3952.
- [39] D. A. Evans, B. D. Allison, M. G. Yang, C. E. Masse, *J. Am. Chem. Soc.* **2001**, *123*, 10840–10852.
- [40] Dibrommethylidenierung ungeschützter β -Hydroxyaldehyde mit CBr₄/PPh₃: a) M. J. Robins, S. F. Wnuk, X. Yang, C.-S. Yuan, R. T. Borchardt, J. Balzarini, E. De Clerq, *J. Med. Chem.* **1998**, *41*, 3857–3864; b) N. E. Langille, J. S. Panek, *Org. Lett.* **2004**, *6*, 3203–3206.
- [41] Methode: F. Ramirez, N. B. Desai, N. McKelvie, *J. Am. Chem. Soc.* **1962**, *84*, 1745–1747.
- [42] Methode: G. Köbrich, H. Trapp, K. Flory, W. Drischel, *Chem. Ber.* **1966**, *99*, 689–697.
- [43] Derartige Sequenzen aus Dibrommethylidenierung/Br,Li-Austausch/Umlagerung, denen sich oft eine C-Alkylierung anschließt, wurden von E. J. Corey, P. L. Fuchs, *Tetrahedron Lett.* **1972**, *13*, 3769–3972 eingeführt.
- [44] V. P. Miller, D.-y. Yang, T. M. Weigel, O. Han, H.-w. Liu, *J. Org. Chem.* **1989**, *54*, 4175–4188.
- [45] P.-E. Sum, L. Weiler, *Can. J. Chem.* **1982**, *60*, 327–334.
- [46] H. Paulsen, V. Sinnwell, *Chem. Ber.* **1978**, *111*, 879–889.
- [47] J. Thiem, P. Ossowski, J. Schwentner, *Chem. Ber.* **1980**, *113*, 955–969.
- [48] Prozedur: J. Ma, Y. Zhao, S. Ng, J. Zhang, J. Zeng, A. Than, P. Chen, X.-W. Liu, *Chem. Eur. J.* **2010**, *16*, 4533–4540.
- [49] Details: Hintergrundinformationen.
- [50] Wir bestimmten weder die C=C-Doppelbindungskonfigurationen noch quantifizierten wir die stereochemische Einheitlichkeit der Monostannane **29** oder der Pentaene **31**. Das lag an störenden Signalüberlagerungen (**29**, **31**) und dem Auftreten kleiner Satelliten-Signale, die auf ¹H, ¹¹⁹Sn-, ¹H, ¹¹⁹Sn-, ¹³C, ¹¹⁷Sn- und ¹³C, ¹¹⁹Sn-Kopplungen beruhten. Jedes Isomer von **31** war im übrigen ein Gemisch aus Keto- und Enol-Tautomeren sowohl der beiden (Z)- als auch der beiden (E)-konfigurierten Amidrotamere. Im Gegensatz dazu stellte die Verbindung **8** ein 9:1-Gemisch aus dem (Z)- und dem (E)-konfigurierten Enol dar.
- [51] B. Barnickel, R. Schobert, *J. Org. Chem.* **2010**, *75*, 6716–6719.
- [52] M. Donike, *J. Chromatogr. A* **1973**, *78*, 273–279.
- [53] Synthesen: Hintergrundinformationen.
- [54] Y. D. Shenin, *Antibiot. Med. Biotechnol.* **1986**, 835 [*Chem. Abstr.* **1987**, *106*, 66971].
- [55] a) G. Horváth, J. Gyimesi, Z. Méhesfalvi-Vajna, *Tetrahedron Lett.* **1973**, *14*, 3643–3648; b) Strukturberichtigung: J. Gyimesi, Z. Méhesfalvi-Vajna, G. Horváth, *J. Antibiot.* **1978**, *31*, 626–627.